

## ОПРЕДЕЛЕНИЕ НАПРАВЛЕНИЯ НА ИСТОЧНИК В АКУСТИЧЕСКОМ ВОЛНОВОДЕ И ПРЕДЕЛ УГЛОВОГО РАЗРЕШЕНИЯ

© 2021 г. А. Г. Сазонтов<sup>a, b, \*</sup>, И. П. Смирнов<sup>a, b</sup>

<sup>a</sup>Институт прикладной физики РАН,  
ул. Ульянова 46, Нижний Новгород, Нижегородская обл., 603155 Россия  
<sup>b</sup>Нижегородский государственный университет им. Н.И. Лобачевского,  
Ашхабадская ул. 4, Нижний Новгород, Нижегородская обл., 603105 Россия

\*e-mail: sazonov@ipfran.ru

Поступила в редакцию 20.09.2020 г.

После доработки 20.09.2020 г.

Принята к публикации 22.12.2020 г.

Построен адаптивный алгоритм пониженного ранга, позволяющий определить направления на источники звука с помощью горизонтальной антенной решетки, работающей в волноводе с неточно известными параметрами. Представлены результаты статистического моделирования, демонстрирующие высокую разрешающую способность предложенного метода и приемлемую точность оценивания углового положения источников без использования априорной информации о глубине их погружения и расстояния до приемной антенны. На основе критерия Смита найден теоретический предел углового разрешения в зависимости от входного отношения сигнал/шум и объема входной выборки.

**Ключевые слова:** акустический волновод с неточно известными параметрами, оценивание направлений на источники сигналов, адаптивный алгоритм NM-RARE, предел углового разрешения, статистическое моделирование

**DOI:** 10.31857/S0320791921020076

### ВВЕДЕНИЕ

Оценка углового положения источника в мелководном канале с помощью горизонтальной линейной антенны является одной из важных прикладных задач гидроакустики. Как известно (см., например, [1–3]), ее решение, основанное на методе сканирования, приводит к заметным ошибкам в определении направления на источник, растущим с увеличением угла прихода (отсчитываемого от нормали к апертуре антенны) и числа распространяющихся нормальных волн. Традиционные алгоритмы (типа метода Кейпона, MUSIC, максимума правдоподобия) позволяют получить несмещенные оценки угловых координат (при условии точно известных параметров волновода), однако в процессе локализации они используют трудоемкую процедуру одновременного поиска по глубине, дальности и азимутальному углу, что требует больших вычислительных затрат. В этой связи возникает необходимость разработки устойчивых методов оценивания, позволяющих определить направление на источник без знания глубины его погружения и расстояния до приемной антенной решетки (AP).

Один из способов решения такого рода обратной задачи был предложен в работе [4] (см.

также [5], где приведена альтернативная формулировка алгоритма). Соответствующая процедура оценивания, получившая название подпространственного пересечения или метода SI (“subspace intersection”), опирается на априорное знание волновых чисел распространяющихся нормальных волн. Однако в изменчивых и всегда не полностью известных условиях морской среды несоответствие (рассогласование) между расчетной моделью канала и реальным акустическим волноводом может приводить к значительному ухудшению работоспособности данного способа локализации.

В последнее десятилетие в теории обработки сигналов антенными решетками интенсивно развивается направление, связанное с определением минимального углового расстояния между источниками, при котором они могут быть корректно локализованы с использованием алгоритмов сверхразрешения. На сегодняшний день существуют три общепринятых критерия, позволяющих определить указанное расстояние. Первый, предложенный Коксом [6], представляет собой необходимое условие одновременного существования двух близко расположенных минимумов целевой функции. Однако такое рассмотрение не

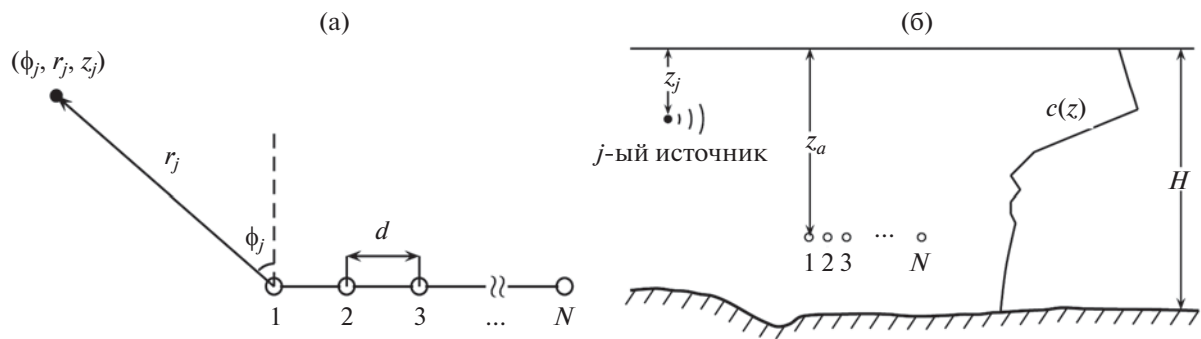


Рис. 1. Взаимное расположение источника и горизонтальной антенны в волноводе: (а) – вид сверху, (б) – вид сбоку.

является универсальным, поскольку зависит от конкретного вида используемого метода оценивания. В этой связи наибольшее распространение получил критерий, основанный на статистической проверке гипотез о наличии одного или двух сигналов в принятой смеси [7–9], а также критерий Смита [10], в соответствии с которым источники считаются разрешенными, если угловое разнесение между ними превосходит среднеквадратичную ошибку оценивания этого разнесения.

В настоящей работе построен адаптивный алгоритм пониженного ранга NM-RARE (“normal mode based rank reduction”), предназначенный для определения угловых положений источников без знания их пространственных координат в волноводе с неточно известными параметрами. Проводимое рассмотрение основано на наихудшем сценарии приема, учитывающем отличие ожидаемой реплики от истинной, и позволяющем минимизировать эффекты рассогласования различной природы [11, 12]. Представлены результаты сравнительного анализа эффективности данного способа оценивания с методом сканирования и методом подпространственного пересечения. На основе критерия Смита найден теоретический предел углового разрешения в зависимости от отношения сигнал/шум и объема входной выборки.

## 1. ПОСТАНОВКА ЗАДАЧИ. ИСХОДНЫЕ СООТНОШЕНИЯ

Рассмотрим акустический волновод, в котором звуковое поле создается  $J$  источниками, излучающими детерминированные узкополосные сигналы  $s_j(t)$  ( $j = 1, \dots, J$ ) с одинаковой несущей частотой. Прием осуществляется линейной горизонтальной АР, состоящей из  $N$  элементов, расположенных на горизонте  $z_a$ . Положение  $j$ -го источника определяется глубиной его погружения  $z_j$ , расстоянием  $r_j$  до приемной АР и азимутальным углом  $\phi_j$ , отсчитываемым от нормали к апер-

туре АР. Геометрия задачи показана на рис. 1. (Начало координат по дальности выбрано в месте установки первого элемента АР.)

В узкополосном приближении поле на входе АР характеризуется  $N$ -мерным вектором наблюдения  $\mathbf{x}_l$ :

$$\mathbf{x}_l = \sum_{j=1}^J \mathbf{g}(\phi_j, \theta_j) s_j(l) + \mathbf{n}_l, \quad l = 1, 2, \dots, L. \quad (1)$$

Здесь  $l$  – номер выборочного отсчета,  $\theta_j = (r_j, z_j)^T$  (верхний индекс  $T$  означает операцию транспонирования),  $\mathbf{g}(\phi_j, \theta_j) = [G(\mathbf{r}_1, z_a | \mathbf{r}_j, z_j), \dots, G(\mathbf{r}_N, z_a | \mathbf{r}_j, z_j)]^T$  – вектор отклика АР при приеме сигнала от  $j$ -го источника,  $\{G(\mathbf{r}_n, z_a | \mathbf{r}_j, z_j)\}_{n=1}^N$  – функции Грина среды распространения,  $\mathbf{n}_l$  – вектор аддитивного белого шума, а  $L$  – объем входной выборки. Задача состоит в построении адаптивного алгоритма обработки, позволяющего по принятой выборке  $\{\mathbf{x}_l\}_{l=1}^L$  оценить угловые положения источников без знания их пространственных координат, и определении наименьшего углового разрешения, при котором источники могут быть корректно разрешены.

При дальнейшем анализе будем считать, что  $\mathbf{n}_l$  является случайным гауссовым вектором с нулевым средним значением и характеризуется ковариационной матрицей  $\langle \mathbf{n}_l \mathbf{n}_l^+ \rangle = \sigma_n^2 \mathbf{I}_N$ , где  $\sigma_n^2$  – неизвестный уровень шума,  $\mathbf{I}_N$  – единичная матрица размерности  $N \times N$ , а  $(\cdot)^+$  и  $\langle \cdot \rangle$  означают операции эрмитового сопряжения и статистического усреднения, соответственно.

В рамках волнового подхода функция Грина  $G(\mathbf{r}_n, z_a | \mathbf{r}_j, z_j)$  может быть представлена в виде суммы конечного числа  $M$  распространяющихся нормальных мод. При расположении источников в дальней зоне антенны (когда  $|\mathbf{r}_n - \mathbf{r}_j| \approx r_j - d(n-1)\sin(\phi_j)$ , где  $d$  – межэлемент-

ное расстояние) эта функция записывается следующим образом

$$\begin{aligned} G(\mathbf{r}_n, z_a | \mathbf{r}_j, z_j) &= \sum_{m=1}^M e^{ik_m d(n-1)\sin\phi_j} b_m(\boldsymbol{\theta}_j), \\ b_m(\boldsymbol{\theta}_j) &= \frac{\varphi_m(z_j) \varphi_m(z_a)}{\sqrt{8\pi k_m r_j}} e^{ik_m r_j + i\pi/4}. \end{aligned} \quad (2)$$

Здесь  $\varphi_m(z_a)$  и  $\varphi_m(z_j)$  – собственные функции  $m$ -ой моды на глубине расположения приемной АР и  $j$ -го источника излучения, соответственно, а  $k_m$  – горизонтальное волновое число.

С использованием модового описания для вектора отклика АР имеем:

$$\mathbf{g}(\phi, \boldsymbol{\theta}) = \mathbf{U}(\phi) \mathbf{b}(\boldsymbol{\theta}), \quad (3)$$

где  $\mathbf{b}(\boldsymbol{\theta})$  – вектор размерности  $M \times 1$ , компонентами которого являются амплитуды мод, определяемые формулой (2), а  $\mathbf{U}(\phi)$  – матрица размерности  $N \times M$  вида

$$\begin{aligned} \mathbf{U}(\phi) &= [\mathbf{u}_1(\phi) \cdots \mathbf{u}_M(\phi)], \text{ где} \\ \mathbf{u}_m(\phi) &= (1, e^{ik_m d \sin(\phi)}, \dots, e^{ik_m d(N-1) \sin(\phi)})^T, \\ m &= 1, \dots, M. \end{aligned}$$

При  $M < N$  ранг матрицы  $\mathbf{U}(\phi)$  равен  $M$  (при условии, что векторы  $\{\mathbf{u}_m(\phi)\}_{m=1}^M$  линейно независимы).

С учетом (3) исходный вектор наблюдения (1) может быть переписан следующим образом

$$\mathbf{x}_l = \mathbf{G}(\boldsymbol{\phi}, \boldsymbol{\theta}) \mathbf{s}_l + \mathbf{n}_l, \quad l = 1, 2, \dots, L.$$

Здесь  $\boldsymbol{\phi} = (\phi_1, \dots, \phi_J)^T$  – искомый вектор направлений размерности  $J \times 1$ ,  $\boldsymbol{\theta} = (\boldsymbol{\theta}_1^T, \dots, \boldsymbol{\theta}_J^T)^T$  – вектор размерности  $2J \times 1$ , определяющий пространственные положения источников,  $\mathbf{G}(\boldsymbol{\phi}, \boldsymbol{\theta}) = [\mathbf{U}(\phi_1) \mathbf{b}(\boldsymbol{\theta}_1), \dots, \mathbf{U}(\phi_J) \mathbf{b}(\boldsymbol{\theta}_J)]$  – передаточная матрица канала размерности  $N \times J$ , а  $\mathbf{s}_l = [s_l(l), \dots, s_l(J)]^T$  – вектор комплексных огибающих излученных сигналов размерности  $J \times 1$ .

Одним из наиболее распространенных способов локализации является метод MUSIC [13]. Эта процедура основана на использовании информации, содержащейся в системе собственных векторов  $\{\hat{\Psi}\}_{i=1}^N$  выборочной матрицы  $\hat{\Gamma}_x = (1/L) \sum_{l=1}^L \mathbf{x}(t_l) \mathbf{x}^*(t_l)$ :

$$\hat{\Gamma}_x \hat{\Psi}_i = \hat{\lambda}_i \hat{\Psi}_i, \quad i = 1, \dots, N,$$

где  $\hat{\lambda}_1, \dots, \hat{\lambda}_N$  – положительные собственные числа, пронумерованные в порядке убывания, т. е.  $\hat{\lambda}_1 \geq \hat{\lambda}_2 \geq \dots \geq \hat{\lambda}_N$ . Первые  $J$  старших собственных векторов формируют сигнальное подпростран-

ство  $\hat{\Psi}_s = [\hat{\Psi}_1 \cdots \hat{\Psi}_J]$ , а  $N - J$  оставшихся векторов – шумовое  $\hat{\Psi}_n = [\hat{\Psi}_{J+1}, \dots, \hat{\Psi}_N]$ .

Для рассматриваемого сценария положения источников могут быть найдены из условия

$$\begin{aligned} (\hat{\phi}, \hat{\boldsymbol{\theta}}) &= \arg \min_{\phi, \boldsymbol{\theta}} \|\hat{\Psi}_n^* \mathbf{g}(\phi, \boldsymbol{\theta})\|^2 \equiv \\ &\equiv \arg \min_{\phi, \boldsymbol{\theta}} \mathbf{g}^+(\phi, \boldsymbol{\theta}) \hat{\Pi}_n \mathbf{g}(\phi, \boldsymbol{\theta}), \end{aligned} \quad (4)$$

где  $\hat{\Pi}_n = \hat{\Psi}_n \hat{\Psi}_n^*$  – проекционная матрица на шумовое подпространство. Процедура оценивания сводится к поиску  $J$  минимумов целевой функции  $\mathbf{g}^+(\phi, \boldsymbol{\theta}) \hat{\Pi}_n \mathbf{g}(\phi, \boldsymbol{\theta})$  в трехмерной области параметров. Последнее требует больших вычислительных затрат.

Ниже нас будет интересовать оценка угловых координат источников в волноводе. Тогда, рассматривая модовый вектор  $\mathbf{b}(\boldsymbol{\theta})$  (зависящий от неинформационного параметра  $\boldsymbol{\theta}$ ) как неизвестный и принимая во внимание представление (3), переформулируем критерий MUSIC (4) следующим образом

$$\hat{\phi} = \arg \min_{\phi} \{\min_{\mathbf{b}} \mathbf{b}^* \mathbf{C}(\phi) \mathbf{b}\}, \quad (5)$$

где  $\mathbf{C}(\phi) = \mathbf{U}^+(\phi) \hat{\Pi}_n \mathbf{U}(\phi)$  – матрица размерности  $M \times M$ , ранг которой равен  $\text{rank}\{\mathbf{C}\} = \text{rank}\{\mathbf{C}\} = \min(N - J, M)$ , и при

$$N > M + J \quad (6)$$

совпадает с числом распространяющихся нормальных волн  $M$ .

Входящий в (5) неизвестный вектор  $\mathbf{b}$  может быть найден лишь с точностью до произвольного комплексного множителя, поэтому для однозначного определения  $\mathbf{b}$  можно наложить на него дополнительное ограничение  $\|\mathbf{b}\|^2 = 1$  (исключающее тривиальное решение  $\mathbf{b} = 0$ ). В этом случае минимум квадратичной формы  $\mathbf{b}^* \mathbf{C}(\phi) \mathbf{b}$  реализуется при условии совпадения  $\mathbf{b}$  с собственным вектором, отвечающим наименьшему собственному значению  $\lambda_{\min}\{\mathbf{C}(\phi)\}$  матрицы  $\mathbf{C}(\phi)$ . В результате угловые положения источников могут быть найдены из следующего критерия:

$$\begin{aligned} \hat{\phi} &= \arg \max_{\phi} P_{NM-RARE}(\phi), \\ P_{NM-RARE}(\phi) &= 1/\lambda_{\min}\{\mathbf{C}(\phi)\}. \end{aligned} \quad (7)$$

Метод оценивания (7) аналогичен алгоритму пониженного ранга RARE [14, 15], используемому в технике частично калибранных АР, в котором роль числа подрешеток играет число мод  $M$ , а вектор амплитудно-фазовой калибровки соответствующих подрешеток заменяется вектором  $\mathbf{b}$ . Важно подчеркнуть, что матрица  $\mathbf{C}$  не содержит

информации о глубине источников и их удалении от АР; следовательно, критерий (7) позволяет определить направления на источники путем одномерного поиска  $J$  максимумов выходной мощности процессора NM-RARE.

## 2. ПОСТРОЕНИЕ АДАПТИВНОЙ ПРОЦЕДУРЫ NM-RARE

Приведенный алгоритм (7) предполагает априорное знание матрицы направлений  $\mathbf{U}(\phi)$ . Однако на практике в качестве этой матрицы (вследствие неполной информации о канале распространения) используется некоторая оценочная матрица  $\mathbf{U}_0(\phi)$ , рассчитываемая для номинальных акустических характеристик волновода. При наличии рассогласования между  $\mathbf{U}(\phi)$  и  $\mathbf{U}_0(\phi)$  предложенный способ оценивания нуждается в уточнении.

При построении адаптивной процедуры NM-RARE, основанной на наихудшем сценарии приема, будем предполагать возможность контролируемого отклонения ожидаемой матрицы  $\mathbf{U}_0(\phi)$  от истинной  $\mathbf{U}(\phi)$ : норма Фробениуса матрицы рассогласования не должна превышать заданную величину:  $\|\mathbf{U}(\phi) - \mathbf{U}_0(\phi)\|_F^2 \leq \varepsilon$ , где  $\varepsilon$  – положительный параметр регуляризации. Адаптация к неизвестным условиям приема состоит в нахождении рабочей матрицы  $\mathbf{U}(\phi, \varepsilon)$ , удовлетворяющей указанному ограничению, условию нормировки и обеспечивающей минимум целевой функции  $\mathbf{b}^+ \mathbf{U}^+(\phi) \hat{\Pi}_n \mathbf{U}(\phi) \mathbf{b}$  для всех возможных значений нормированных векторов  $\mathbf{b}$ :

$$\min_{\mathbf{U}} \{ \mathbf{b}^+ \mathbf{U}(\phi)^+ \hat{\Pi}_n \mathbf{U}(\phi) \mathbf{b} \} \quad (8)$$

$$\text{при } \|\mathbf{U}(\phi) - \mathbf{U}_0(\phi)\|_F^2 \leq \varepsilon, \quad \|\mathbf{U}(\phi)\|_F^2 = M.$$

Решение оптимизационной задачи (8) может быть найдено с помощью метода неопределенных множителей Лагранжа аналогично тому, как это сделано в [16, 17]. В итоге искомые положения источников находятся из условия максимума выходной мощности адаптивного процессора NM-RARE:

$$\begin{aligned} \hat{\phi} &= \arg \max_{\phi} P_{\text{NM-RARE}}(\phi, \varepsilon), \\ P_{\text{NM-RARE}}(\phi, \varepsilon) &= 1/f(\phi, \varepsilon) \lambda_{\min}\{\mathbf{C}_0(\phi)\}, \end{aligned} \quad (9)$$

где

$$\begin{aligned} \mathbf{C}_0(\phi) &= \mathbf{U}_0^+(\phi) \hat{\Pi}_n \mathbf{U}_0(\phi), \quad f(\phi, \varepsilon) = 1 - \varepsilon/(2M) + \\ &+ \sqrt{(\varepsilon/M)(1 - \varepsilon/4M)[1 - V_0(\phi)]/V_0(\phi)}, \\ V_0(\phi) &= M^{-1} \text{Tr}[\mathbf{U}_0^+(\phi) \hat{\Pi}_n \mathbf{U}_0(\phi)], \end{aligned}$$

а  $\text{Tr}(\cdot)$  означает след матрицы. При  $\varepsilon = 0$  функция  $f(\phi, \varepsilon) = 1$  и, следовательно, неадаптивный метод

NM-RARE является частным случаем предложенного способа оценивания.

Отметим также, что в процессе поиска азимутальных углов параметр регуляризации  $\varepsilon$  должен удовлетворять неравенству  $\varepsilon < 2M[1 - \sqrt{1 - V_0(\phi)}]$ , поскольку в противном случае целевая функция всюду обращается в нуль.

## 3. ГРАНИЦА КРАМЕРА–РАО И ПРЕДЕЛ УГЛОВОГО РАЗРЕШЕНИЯ

Обозначим через  $\hat{\Phi} = (\hat{\phi}_1, \dots, \hat{\phi}_J)^T$  оценку вектора угловых координат источников (полученную без использования информации о глубинах их погружения и расстояний до приемной АР). Коэффициентная матрица ошибки этого вектора удовлетворяет неравенству

$$\langle (\Phi - \hat{\Phi})(\Phi - \hat{\Phi})^T \rangle \geq \mathbf{CRB}(\Phi),$$

где  $\mathbf{CRB}(\Phi)$  – нижняя граница Крамера–Рао, определяющая предел точности измерения соответствующих координат. Для рассматриваемого сценария (когда форма огибающих излученных сигналов и векторы модовых амплитуд являются неинформационными параметрами) матрица  $\mathbf{CRB}(\Phi)$  размерности  $J \times J$  дается выражением

$$\mathbf{CRB}(\Phi) = \frac{\sigma_n^2}{2L} \text{Re}(\mathbf{F} - \mathbf{K} \mathbf{\Sigma}^{-1} \mathbf{K}^+)^{-1}, \quad (10)$$

в котором блоки  $\mathbf{F} \in C^{J \times J}$ ,  $\mathbf{K} \in C^{J \times MJ}$  и  $\mathbf{\Sigma} \in C^{MJ \times MJ}$  равны

$$\begin{aligned} \mathbf{F} &= \mathbf{D}_{\Phi}^+ \mathbf{\Pi}_G^{\perp} \mathbf{D}_{\Phi} \circ \mathbf{R}_s^T, \quad \mathbf{K} = \mathbf{D}_{\Phi}^+ \mathbf{\Pi}_G^{\perp} \mathbf{D}_{\eta} \circ (\mathbf{1}_M^T \otimes \mathbf{R}_s^T), \\ \mathbf{\Sigma} &= \mathbf{D}_{\eta}^+ \mathbf{\Pi}_G^{\perp} \mathbf{D}_{\eta} \circ (\mathbf{1}_M \mathbf{1}_M^T \otimes \mathbf{R}_s^T). \end{aligned} \quad (11)$$

Здесь  $\mathbf{\Pi}_G^{\perp} = \mathbf{I}_N - \mathbf{G}(\mathbf{G}^+ \mathbf{G})^{-1} \mathbf{G}^+ \in C^{N \times N}$ ,  $\hat{\mathbf{R}}_s = (1/L) \times \sum_{l=1}^L \mathbf{s}_l \mathbf{s}_l^+ \in C^{J \times J}$  – выборочная сигнальная матрица,  $\mathbf{1}_M = (1, \dots, 1)^T$  – вектор размерности  $M \times 1$  с единичными компонентами, а символы  $\circ$  и  $\otimes$  означают произведение Адамара и Кронекера, соответственно. Матрицы  $\mathbf{D}_{\Phi} \in C^{N \times J}$  и  $\mathbf{D}_{\eta} \in C^{N \times MJ}$ , входящие в (10), определены соотношениями

$$\mathbf{D}_{\Phi} = \left[ \frac{d\mathbf{U}(\phi_1)}{d\phi_1} \mathbf{b}(\theta_1), \dots, \frac{d\mathbf{U}(\phi_J)}{d\phi_J} \mathbf{b}(\theta_J) \right], \quad (12)$$

$$\mathbf{D}_{\eta} = [\mathbf{D}_1 \dots \mathbf{D}_M], \quad \mathbf{D}_m = [\mathbf{U}(\phi_1) \mathbf{e}_m, \dots, \mathbf{U}(\phi_J) \mathbf{e}_m], \quad m = 1, \dots, M, \quad (13)$$

где  $\mathbf{e}_m = (\underbrace{0, \dots, 0}_m, 1, 0, \dots, 0)^T$  представляет собой  $m$ -ый столбец единичной матрицы размерности  $M \times M$ . Вывод формулы (10) приведен в Приложении.

В случае, когда глубины погружения источников и их расстояния до приемной АР известны априори (следовательно, известны векторы соответствующих модовых амплитуд), формула (10) упрощается и переходит в классическое выражение, полученное в работе [18] применительно к детерминированной модели излучаемых сигналов:

$$\text{CRB}_{\text{det}}(\boldsymbol{\phi}) = \frac{\sigma_n^2}{2L} \operatorname{Re}(\mathbf{D}_\phi^+ \mathbf{P}_G^\perp \mathbf{D}_\phi \circ \hat{\mathbf{R}}_s^T)^{-1}. \quad (14)$$

Заметим, что в отличие от (14) соотношение (10) содержит слагаемое  $-\mathbf{K}\Sigma^{-1}\mathbf{K}^T$ . Поскольку согласно (11)  $\Sigma$  является неотрицательно определенной эрмитовой матрицей, то  $\mathbf{K}\Sigma^{-1}\mathbf{K}^T \geq 0$  и, следовательно, справедливо неравенство  $\text{CRB}(\boldsymbol{\phi}) \geq \text{CRB}_{\text{det}}(\boldsymbol{\phi})$ . Последнее отражает очевидный факт, в соответствии с которым введение в модель дополнительного неизвестного параметра приводит к потере точности искомой оценки (т.е. увеличению ее дисперсии).

Ниже основное внимание будет уделено решению задачи локализации двух акустических источников с близкими угловыми положениями. В рассматриваемой ситуации матрица Крамера–Рао размерности  $2 \times 2$  может быть представлена в виде

$$\text{CRB}(\boldsymbol{\phi}) = \boldsymbol{\Phi}^{-1}(\boldsymbol{\phi}), \quad \boldsymbol{\Phi}(\boldsymbol{\phi}) = \begin{pmatrix} f_{11} & f_{12} \\ f_{21} & f_{22} \end{pmatrix},$$

где  $\boldsymbol{\Phi}(\boldsymbol{\phi}) = (2L/\sigma_n^2) \operatorname{Re}(\mathbf{F} - \mathbf{K}\Sigma^{-1}\mathbf{K}^+)$  имеет смысл информационной матрицы Фишера. Отметим, что для обращения  $\boldsymbol{\Phi}(\boldsymbol{\phi})$  можно воспользоваться формулой

$$\begin{pmatrix} f_{11} & f_{12} \\ f_{21} & f_{22} \end{pmatrix}^{-1} = \frac{1}{1-\mu} \begin{pmatrix} 1/f_{11} & -\mu/f_{12} \\ -\mu/f_{21} & 1/f_{22} \end{pmatrix},$$

в которой  $\mu = f_{12}f_{21}/f_{11}f_{22}$ . В свою очередь, выборочная сигнальная матрица  $\hat{\mathbf{R}}_s$ , входящая в  $\boldsymbol{\Phi}(\boldsymbol{\phi})$ , в данном случае записывается следующим образом

$$\begin{aligned} \hat{\mathbf{R}}_s &= \begin{pmatrix} \sigma_1^2 & \sqrt{\sigma_1^2 \sigma_2^2} \rho \\ \sqrt{\sigma_1^2 \sigma_2^2} \rho^* & \sigma_2^2 \end{pmatrix}, \\ \rho &= \frac{(1/L) \sum_{l=1}^L s_1(l)s_2^*(l)}{\sigma_1 \sigma_2}, \end{aligned}$$

где  $\sigma_{1,2}^2 = (1/L) \sum_{l=1}^L |s_{1,2}(l)|^2$  – уровни излучения, а параметр  $\rho$  описывает степень корреляции между излученными сигналами.

Нас будет интересовать минимальное угловое расстояние между источниками  $\delta = |\phi_1 - \phi_2|$ , при

котором они могут быть одновременно корректно локализованы. Согласно критерию Смита [10], два источника разрешимы, если  $\delta$  превосходит среднеквадратичную дисперсию оценки соответствующего углового расстояния:

$$\delta \geq \sqrt{\text{var}(\delta)}. \quad (15)$$

В свою очередь, дисперсия  $\text{var}(\delta)$ , фигурирующая в (15), удовлетворяет неравенству  $\text{var}(\delta) \geq \text{CRB}(\delta)$ , где  $\text{CRB}(\delta)$  – соответствующая граница Крамера–Рао, равная [19]

$$\text{CRB}(\delta) = \text{CRB}(\phi_1) - 2\text{CRB}(\phi_1, \phi_2) + \text{CRB}(\phi_2),$$

$$\text{а } \text{CRB}(\phi_1) = [\text{CRB}(\boldsymbol{\phi})]_{1,1}, \text{CRB}(\phi_1, \phi_2) = [\text{CRB}(\boldsymbol{\phi})]_{1,2}, \\ \text{CRB}(\phi_2) = [\text{CRB}(\boldsymbol{\phi})]_{2,2}.$$

Предел углового разрешения находится из условия равенства обеих частей критерия (15) и замены  $\text{var}(\delta)$  на  $\text{CRB}(\delta)$ . В результате искомая величина  $\delta$  является наименьшим положительным корнем уравнения

$$\delta^2 = \text{CRB}(\delta). \quad (16)$$

Отметим, что для заданной геометрии АР найденное таким образом  $\delta$  зависит от угла прихода, отношения сигнал/шум, объема входной выборки и степени коррелированности излучаемых сигналов.

#### 4. РЕЗУЛЬТАТЫ СТАТИСТИЧЕСКОГО МОДЕЛИРОВАНИЯ

Приведем результаты статистического моделирования, иллюстрирующие работоспособность предложенного алгоритма (9) и сравним его эффективность с традиционным методом сканирования и методом SI, согласно которому векторы сигнального подпространства  $\hat{\mathbf{R}}_s$  и векторы модового подпространства  $\mathbf{U}(\boldsymbol{\phi})$  при  $\boldsymbol{\phi} \in (\phi_1, \dots, \phi_J)$  становятся линейно зависимыми. В результате искомые положения источников могут быть найдены из условия пересечения соответствующих подпространств [5]:

$$\begin{aligned} \hat{\boldsymbol{\phi}} &= \arg \max_{\boldsymbol{\phi}} P_{\text{SI}}(\boldsymbol{\phi}), \\ P_{\text{SI}}(\boldsymbol{\phi}) &= 1/\lambda_{\min} \{ \hat{\mathbf{R}}_s^+ \mathbf{P}_U^\perp(\boldsymbol{\phi}) \hat{\mathbf{R}}_s \}, \end{aligned} \quad (17)$$

где  $\lambda_{\min} \{ \cdot \}$  означает минимальное собственное значение матрицы, стоящей в скобках, а  $\mathbf{P}_U^\perp(\boldsymbol{\phi}) = \mathbf{I}_N - \mathbf{U}(\boldsymbol{\phi})[\mathbf{U}^+(\boldsymbol{\phi})\mathbf{U}(\boldsymbol{\phi})]^{-1}\mathbf{U}^+(\boldsymbol{\phi})$  – проекционная матрица размерности  $N \times N$ .

Подчеркнем, что метод сканирования не учитывает волноводный характер распространения звука, а процедура (17) опирается на априорное знание среды распространения.

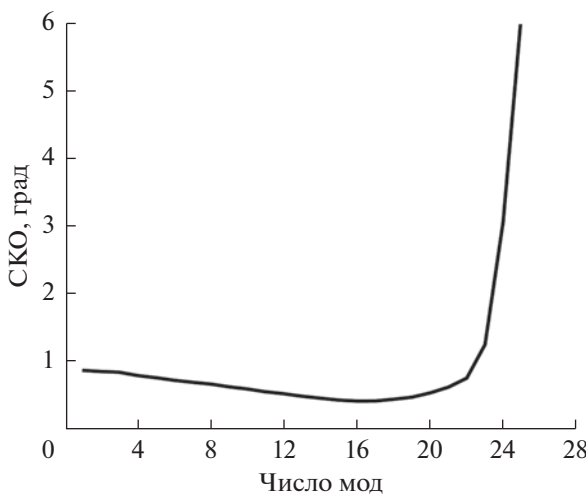


Рис. 2. Среднеквадратическая ошибка оценивания угловых положений источников в зависимости от числа используемых мод.

В качестве примера рассмотрим мелководный канал глубины  $H = 160$  м с характерной летней гидрологией, изображенной на рис. 1б, в котором звуковое поле создается двумя детерминированными источниками одинаковой мощности, излучающими узкополосные сигналы с несущей частотой 250 Гц. В рамках численного эксперимента дно моделировалось жидким поглощающим полупространством с плотностью  $\rho_b = 1.8$  г/см<sup>3</sup>, скоростью звука  $c_b = 1750$  м/с и коэффициентом поглощения  $\beta = 0.13$  дБ/λ, а при расчете ожидаемой матрицы  $\mathbf{U}_0(\phi)$  в качестве номинальных геоакустических параметров дна использовались значения  $H = 162.5$  м,  $\rho_b = 1.75$  г/см<sup>3</sup>,  $c_b = 1725$  м/с и  $\beta = 0.1$  дБ/λ. Для рассматриваемой несущей частоты и указанных акустических характеристик канала полное число мод  $M$  составляло 28.

Предполагалось, что источники находятся на горизонтах 40 и 70 м и удалены соответственно на расстояния 15 и 10 км от горизонтальной приемной антенны, состоящей из  $N = 20$  элементов, расположенных через 3 м на глубине 155 м. Направление на первый источник  $\phi_1 = 30^\circ$ , а угловое положение второго задавалось в виде  $\phi_2 = \phi_1 + \delta$ , где  $\delta \in (0.2^\circ \dots 6^\circ)$ . При вычислениях коэффициент корреляции  $\rho$  брался равным 0.4, а входные отношения сигнал/шум, определяемые соотношениями

$$\text{SNR}_j = \frac{\sigma_j^2}{\sigma_n^2} \|\mathbf{g}(\phi_j, \theta_j)\|^2 / N, \quad j = 1, 2,$$

считались одинаковыми, т. е.  $\text{SNR}_1 = \text{SNR}_2 = \text{SNR}$ .

Обратим внимание, что для данных  $N$ ,  $J$  и  $M$  условие (6) не выполняется, и для реализации

предложенного метода необходимо ограничить число мод, участвующих в процессе локализации (причем максимально допустимое значение используемых мод не должно превышать  $N - J = 18$ ). Ниже при построении матрицы  $\mathbf{U}_0(\phi)$  учитывались первые 16 нормальных волн волновода. В частности, при таком выборе  $M$  применение алгоритма (9) для  $\varepsilon = 0.25$  обеспечивает минимум среднеквадратических ошибок (СКО) оценивания угловых положений источников, отстоящих друг от друга на расстояние  $\delta = 6^\circ$ , как показано на рис. 2. Соответствующие ошибки рассчитывались по формуле

$$\text{СКО}(\hat{\phi}) = \sqrt{(QJ)^{-1} \sum_{q=1}^Q \sum_{j=1}^J (\hat{\phi}_j^{(q)} - \phi_j)^2},$$

в которой  $\hat{\phi}_j^{(q)}$  — оценка угловой координаты  $j$ -го источника для  $q$ -й реализации вектора наблюдения,  $J = 2$ , а общее число независимых реализаций  $Q$  бралось равным 1000. Выборочная ковариационная матрица формировалась по  $L = 100$  временным отсчетам, а входное SNR составляло 0 дБ.

Для используемых методов оценивания на рис. 3а и 3б изображены угловые зависимости нормированной (на максимальное значение) мощности на выходе АР, принимающей сигналы от двух источников, разнесенных друг относительно друга на расстояние  $6^\circ$  и  $2^\circ$ , соответственно. Кривая 1 на рис. 3 отвечает традиционному способу сканирования, кривая 2 — методу SI, а кривая 3 соответствует алгоритму NM-RARE (9). Из рис. 3б видно, что в данном примере лишь аддитивный метод в состоянии различить два источника и одновременно оценить искомые направления.

Одной из важных характеристик алгоритма является достигаемая с его помощью вероятность разрешения источников с близкими углами прихода. В качестве оценки соответствующей вероятности используется величина

$$\hat{P}_{\text{RES}} = \frac{1}{Q} \sum_{q=1}^Q p_q,$$

$$p_q = \begin{cases} 1, & \text{если } \sum_{j=1}^2 |\hat{\phi}_j^{(q)} - \phi_j| < |\phi_1 - \phi_2|; \\ 0, & \text{в противном случае.} \end{cases}$$

На рис. 4а для рассматриваемых способов обработки представлены результаты расчета  $P_{\text{RES}}$  в зависимости от величины углового расстояния между источниками. Очевидно, что наилучшие потенциальные возможности демонстрирует предложенный метод локализации (9), позволяющий с вероятностью 0.9 разрешить источники,

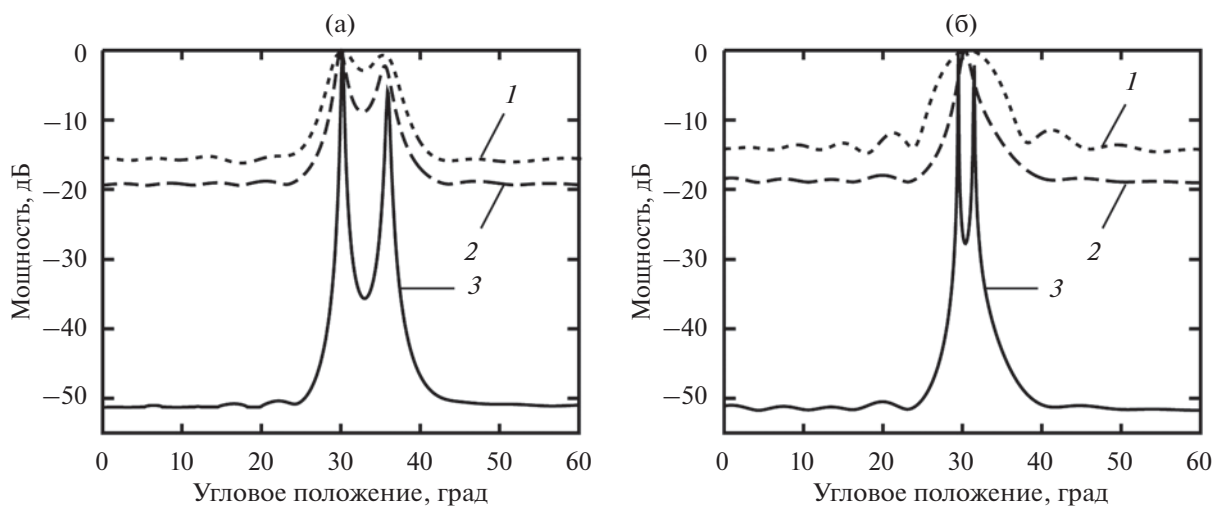


Рис. 3. Угловая зависимость выходной мощности АР, принимающей сигналы от двух источников, разнесенных друг относительно друга на расстояние (а) –  $6^\circ$  и (б) –  $2^\circ$ .

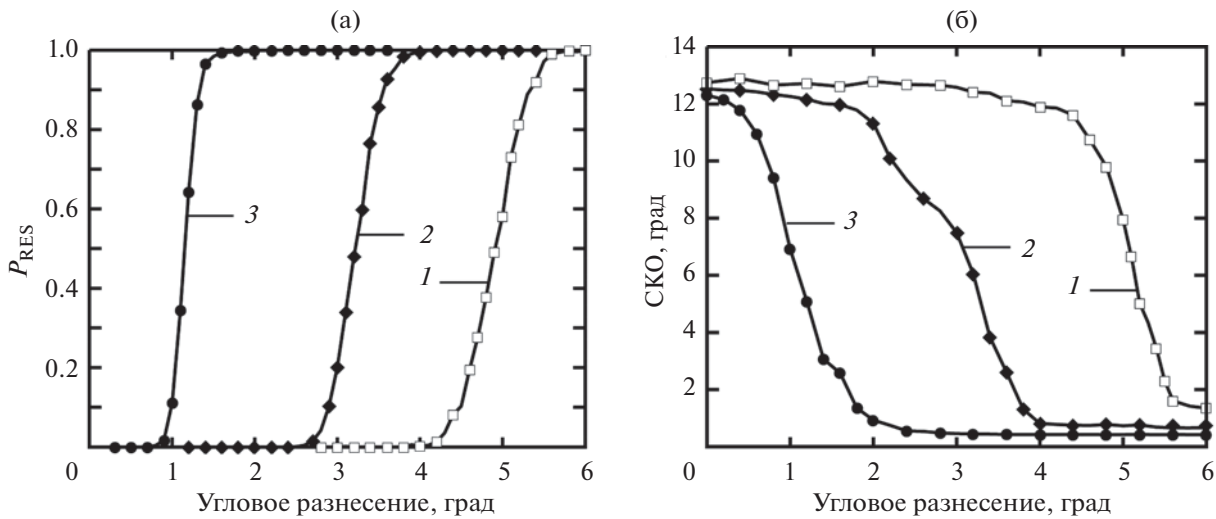


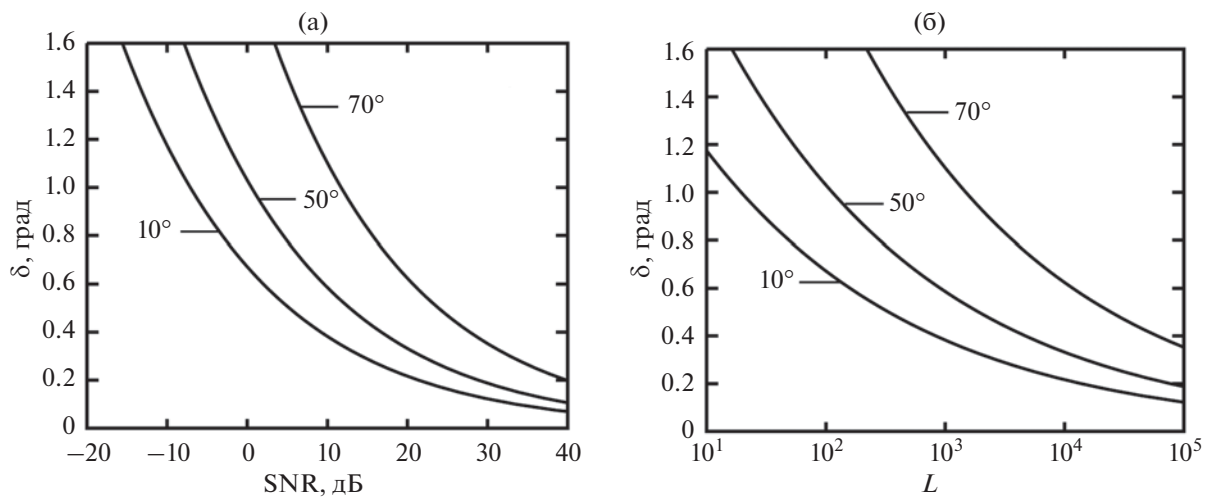
Рис. 4. (а) – Вероятность разрешения и (б) – среднеквадратическая ошибка оценивания в зависимости от углового расстояния между источниками.

отстоящие друг относительно друга на величину порядка  $1.5^\circ$ .

На рис. 4б показано поведение среднеквадратической ошибки измерения угловых координат в зависимости от расстояния между источниками. Из приведенных кривых следует, что применение алгоритма NM-RARE позволяет значительно повысить точность оценивания по сравнению с неадаптивными методами.

В заключение этого раздела приведем результаты расчета предела углового разрешения, являющегося наименьшим положительным корнем уравнения (16). Для рассматриваемой постановки задачи на рис. 5а изображена зависимость вели-

чины  $\delta$  от входного SNR (при этом выборочная ковариационная матрица формировалась по  $L = 100$  временным отсчетам), а на рис. 5б – зависимость  $\delta$  от числа выборок  $L$  при  $SNR = 0$  дБ. Параметром кривых является угловое положение  $\phi_1$  фиксированного источника. Из этого рисунка видно, что минимально возможное расстояние между источниками является монотонно убывающей функцией SNR и  $L$ , при этом разрешающая способность антенны снижается с ростом угла прихода. Важно подчеркнуть, что полученный предел разрешения является фундаментальной величиной, независящей от вида используемого алгоритма.



**Рис. 5.** Зависимость  $\delta$  от входного (а) – SNR и (б) – объема выборки  $L$  для различных угловых положений  $\phi_1$  фиксированного источника.

## ЗАКЛЮЧЕНИЕ

В настоящей работе построен робастный алгоритм NM-RARE, позволяющий определить угловые положения источников без знания их пространственных координат в канале с неточно известными параметрами. Приведены результаты математического моделирования предложенного метода, иллюстрирующие приемлемую точность оценивания направлений на источники и высокую вероятность углового разрешения в сравнении с известными неадаптивными способами, предполагающими априорное знание акустических характеристик волновода.

На основе критерия Смита определено наименьшее угловое расстояние между источниками, при котором возможна их корректная локализация, в зависимости от входного отношения сигнал/шум и объема входной выборки.

Работа выполнена при финансовой поддержке РНФ (грант № 20-19-00383).

## ПРИЛОЖЕНИЕ

### ВЫВОД ФОРМУЛЫ (10)

Для рассматриваемой постановки задачи выборочный вектор наблюдения  $\mathbf{x}_l$  является комплексным гауссовым вектором со средним значением  $\mathbf{G}(\boldsymbol{\phi}, \boldsymbol{\theta})\mathbf{s}_l$  и ковариационной матрицей  $\sigma_n^2 \mathbf{I}_N$ .

Обозначим через  $\boldsymbol{\alpha}$  вектор, содержащий  $(1 + 2M + 2L)J$  неизвестных параметров сигнальной компоненты вектора наблюдения

$$\boldsymbol{\alpha} = [\boldsymbol{\varphi}^T, \boldsymbol{\eta}^T, \text{Re}\{\mathbf{s}_1\}^T, \dots, \text{Re}\{\mathbf{s}_L\}^T, \text{Im}\{\mathbf{s}_1\}^T, \dots, \text{Im}\{\mathbf{s}_L\}^T]^T,$$

где  $\boldsymbol{\eta} = (\xi^T, \zeta^T)^T$ , а  $\xi = (\xi_1^T, \dots, \xi_M^T)^T$  и  $\zeta = (\zeta_1^T, \dots, \zeta_M^T)^T$  – векторы размерности  $MJ \times 1$ , составленные из реальных и мнимых коэффициентов комплексных амплитуд мод:

$$\begin{aligned} \xi_m &= [\text{Re}\{b_m(\boldsymbol{\theta}_1)\}, \dots, \text{Re}\{b_m(\boldsymbol{\theta}_J)\}]^T, \\ \zeta_m &= [\text{Im}\{b_m(\boldsymbol{\theta}_1)\}, \dots, \text{Im}\{b_m(\boldsymbol{\theta}_J)\}]^T, \\ m &= 1, \dots, M. \end{aligned}$$

Как известно (см., например, [20]), при приеме детерминированного сигнала, регистрируемого на фоне белого шума, нижняя граница Крамера–Рао, определяющая потенциально достижимую точность оценки вектора  $\boldsymbol{\alpha}$ , не зависит от уровня шума и дается выражением

$$\text{CRB}(\boldsymbol{\alpha}) = \frac{\sigma_n^2}{2} \left\{ \sum_{l=1}^L \text{Re}(\mathbf{W}_l^+ \mathbf{W}_l) \right\}^{-1}, \quad (\Pi 1)$$

в котором

$$\mathbf{W}_l = \left[ \frac{\partial \mathbf{G}(\boldsymbol{\phi}, \boldsymbol{\theta}) \mathbf{s}_l}{\partial \boldsymbol{\phi}^T}, \frac{\mathbf{G}(\boldsymbol{\phi}, \boldsymbol{\theta}) \mathbf{s}_l}{\partial \xi^T}, \frac{\partial \mathbf{G}(\boldsymbol{\phi}, \boldsymbol{\theta}) \mathbf{s}_l}{\partial \zeta^T}, \frac{\partial \mathbf{G}(\boldsymbol{\phi}, \boldsymbol{\theta}) \mathbf{s}_l}{\partial \text{Re}\{\mathbf{s}_l\}^T}, \frac{\partial \mathbf{G}(\boldsymbol{\phi}, \boldsymbol{\theta}) \mathbf{s}_l}{\partial \text{Im}\{\mathbf{s}_l\}^T} \right], \quad (\Pi 2)$$

а  $\mathbf{G}(\boldsymbol{\phi}, \boldsymbol{\theta}) = [\mathbf{U}(\boldsymbol{\phi}_1)\mathbf{b}(\boldsymbol{\theta}_1), \dots, \mathbf{U}(\boldsymbol{\phi}_J)\mathbf{b}(\boldsymbol{\theta}_J)]$ .

Рассчитаем производные, входящие в (П2). Для первого блока, фигурирующего в правой части (П2), имеем

$$\begin{aligned}\frac{\partial \mathbf{G}(\boldsymbol{\phi}, \boldsymbol{\theta}) \mathbf{s}_l}{\partial \boldsymbol{\phi}^T} &= \left[ \frac{\partial \mathbf{G}(\boldsymbol{\phi}, \boldsymbol{\theta}) \mathbf{s}_l}{\partial \phi_1}, \dots, \frac{\partial \mathbf{G}(\boldsymbol{\phi}, \boldsymbol{\theta}) \mathbf{s}_l}{\partial \phi_J} \right], \\ \frac{\partial \mathbf{G}(\boldsymbol{\phi}, \boldsymbol{\theta}) \mathbf{s}_l}{\partial \phi_j} &= \mathbf{d}_j s_j(l), \quad \mathbf{d}_j = \frac{d \mathbf{U}(\phi_j)}{d \phi_j} \mathbf{b}(\boldsymbol{\theta}_j)\end{aligned}$$

и, следовательно,

$$\frac{\partial \mathbf{G}(\boldsymbol{\phi}, \boldsymbol{\theta}) \mathbf{s}_l}{\partial \boldsymbol{\phi}^T} = [\mathbf{d}_1 s_1(l), \dots, \mathbf{d}_J s_J(l)] \equiv \mathbf{D}_{\boldsymbol{\phi}} \mathbf{S}_l,$$

где  $\mathbf{D}_{\boldsymbol{\phi}}$  определяется формулой (12), а  $\mathbf{S}_l = \text{diag}(\mathbf{s}_l)$ .

Далее,

$$\begin{aligned}\frac{\partial \mathbf{G}(\boldsymbol{\phi}, \boldsymbol{\theta}) \mathbf{s}_l}{\partial \boldsymbol{\xi}^T} &= \left[ \frac{\partial \mathbf{G}(\boldsymbol{\phi}, \boldsymbol{\theta}) \mathbf{s}_l}{\partial \boldsymbol{\xi}_1^T}, \dots, \frac{\partial \mathbf{G}(\boldsymbol{\phi}, \boldsymbol{\theta}) \mathbf{s}_l}{\partial \boldsymbol{\xi}_M^T} \right], \\ \frac{\partial \mathbf{G}(\boldsymbol{\phi}, \boldsymbol{\theta}) \mathbf{s}_l}{\partial \boldsymbol{\xi}_m^T} &= \left[ \frac{\partial \mathbf{G}(\boldsymbol{\phi}, \boldsymbol{\theta}) \mathbf{s}_l}{\partial \text{Re}\{b_m(\boldsymbol{\theta}_1)\}}, \dots, \frac{\partial \mathbf{G}(\boldsymbol{\phi}, \boldsymbol{\theta}) \mathbf{s}_l}{\partial \text{Re}\{b_m(\boldsymbol{\theta}_J)\}} \right].\end{aligned}$$

Учитывая, что  $\partial \mathbf{b}(\boldsymbol{\theta}_j) / \partial \text{Re}\{b_m(\boldsymbol{\theta}_j)\} = \mathbf{e}_m$ , где  $\mathbf{e}_m$  представляет собой  $m$ -ый столбец единичной матрицы размерности  $M \times M$ , получим

$$\frac{\partial \mathbf{G}(\boldsymbol{\phi}, \boldsymbol{\theta}) \mathbf{s}_l}{\partial \boldsymbol{\xi}_m^T} = [\mathbf{U}(\phi_1) \mathbf{e}_m s_1(l), \dots, \mathbf{U}(\phi_J) \mathbf{e}_m s_J(l)] \equiv \mathbf{D}_m \mathbf{S}_l,$$

где  $\mathbf{D}_m$  дается соотношением (13). Тогда

$$\frac{\partial \mathbf{G}(\boldsymbol{\phi}, \boldsymbol{\theta}) \mathbf{s}_l}{\partial \boldsymbol{\xi}^T} = [\mathbf{D}_1 \mathbf{S}_l, \dots, \mathbf{D}_M \mathbf{S}_l] \equiv \mathbf{H}_l.$$

Аналогичные вычисления для третьего блока в (П2) приводят к результату

$$\frac{\partial \mathbf{G}(\boldsymbol{\phi}, \boldsymbol{\theta}) \mathbf{s}_l}{\partial \boldsymbol{\zeta}^T} = i \mathbf{H}_l.$$

Наконец, для последних двух слагаемых в (П2) следует

$$\frac{\partial \mathbf{G} \mathbf{s}_l}{\partial \text{Re}\{\mathbf{s}_l\}^T} = \mathbf{G}, \quad \frac{\partial \mathbf{G} \mathbf{s}_l}{\partial \text{Im}\{\mathbf{s}_l\}^T} = i \mathbf{G}.$$

Таким образом, матрица  $\mathbf{W}_l$  представима в виде

$$\mathbf{W}_l = [\mathbf{D}_{\boldsymbol{\phi}} \mathbf{S}_l, \mathbf{H}_l, i \mathbf{H}_l, \mathbf{G}, i \mathbf{G}]. \quad (\text{П3})$$

Ниже нас будет интересовать минимальная дисперсия оценки угловых координат источников, для чего удобно преобразовать матрицу (П1) к блочно-диагональному виду. Для этого заметим, что при фиксированном номере выборочного отсчета  $l$  матрица  $\mathbf{W}_l$  зависит от неизвестного вектора  $\boldsymbol{\alpha}_l = [\boldsymbol{\phi}^T, \boldsymbol{\eta}^T, \text{Re}\{\mathbf{s}_l\}^T, \text{Im}\{\mathbf{s}_l\}^T]^T$ . Следуя идее

работ [14, 21], удобно ввести в рассмотрение вектор  $\tilde{\boldsymbol{\alpha}}_l$  вида

$$\begin{aligned}\tilde{\boldsymbol{\alpha}}_l &= [\boldsymbol{\phi}^T, \boldsymbol{\eta}^T, \text{Re}\{\mathbf{V}_l\} \boldsymbol{\phi} + \text{Re}\{\mathbf{T}_l\} \boldsymbol{\eta} + \text{Re}\{\mathbf{s}_l\}, \\ &\quad \text{Im}\{\mathbf{V}_l\} \boldsymbol{\phi} + \text{Im}\{\mathbf{T}_l\} \boldsymbol{\eta} + \text{Im}\{\mathbf{s}_l\}]^T,\end{aligned}$$

где  $\mathbf{V}_l = (\mathbf{G}^+ \mathbf{G})^{-1} \mathbf{G}^+ \mathbf{D}_{\boldsymbol{\phi}} \mathbf{S}_l$ ,  $\mathbf{T}_l = (\mathbf{G}^+ \mathbf{G})^{-1} \mathbf{G}^+ \Delta_l$ , а  $\Delta_l = [\mathbf{H}_l, i \mathbf{H}_l]$ .

Соответствующий вектор связан с  $\boldsymbol{\alpha}_l$  соотношением

$$\tilde{\boldsymbol{\alpha}}_l = \mathbf{C}_l \boldsymbol{\alpha}_l, \quad \text{где } \mathbf{C}_l = \begin{pmatrix} \mathbf{I} & \mathbf{0} & \mathbf{0} & \mathbf{0} \\ \mathbf{0} & \mathbf{I} & \mathbf{0} & \mathbf{0} \\ \text{Re}\{\mathbf{V}_l\} & \text{Re}\{\mathbf{T}_l\} & \mathbf{I} & \mathbf{0} \\ \text{Im}\{\mathbf{V}_l\} & \text{Im}\{\mathbf{T}_l\} & \mathbf{0} & \mathbf{I} \end{pmatrix}.$$

Для нового вектора

$$\tilde{\boldsymbol{\alpha}} = [\boldsymbol{\phi}^T, \boldsymbol{\eta}^T, \text{Re}\{\tilde{\mathbf{s}}_l\}^T, \dots, \text{Re}\{\tilde{\mathbf{s}}_L\}^T, \\ \text{Im}\{\tilde{\mathbf{s}}_l\}^T, \dots, \text{Im}\{\tilde{\mathbf{s}}_L\}^T]^T,$$

где  $\tilde{\mathbf{s}}_l = \mathbf{s}_l + \mathbf{V}_l \boldsymbol{\phi} + \mathbf{T}_l \boldsymbol{\eta}$ , граница Крамера–Рао может быть рассчитана по формуле

$$\text{CRB}(\tilde{\boldsymbol{\alpha}}) = \frac{\sigma_n^2}{2} \left\{ \sum_{l=1}^L (\mathbf{C}_l^{-1})^T \text{Re}\{\mathbf{W}_l^+ \mathbf{W}_l\} \mathbf{C}_l^{-1} \right\}^{-1}. \quad (\text{П4})$$

Для невырожденной матрицы  $\mathbf{C}_l$  существует обратная, равная

$$\mathbf{C}_l^{-1} = \begin{pmatrix} \mathbf{I} & \mathbf{0} & \mathbf{0} & \mathbf{0} \\ \mathbf{0} & \mathbf{I} & \mathbf{0} & \mathbf{0} \\ -\text{Re}\{\mathbf{V}_l\} & -\text{Re}\{\mathbf{T}_l\} & \mathbf{I} & \mathbf{0} \\ -\text{Im}\{\mathbf{V}_l\} & -\text{Im}\{\mathbf{T}_l\} & \mathbf{0} & \mathbf{I} \end{pmatrix}.$$

Тогда, привлекая (П3), нетрудно найти, что

$$\begin{aligned}\mathbf{W}_l \mathbf{C}_l^{-1} &= [\mathbf{D}_{\boldsymbol{\phi}} \mathbf{S}_l - \mathbf{G} \mathbf{V}_l, \Delta_l - \mathbf{G} \mathbf{T}_l, \mathbf{G}, i \mathbf{G}] \equiv \\ &\equiv [\Pi_G^\perp \mathbf{D}_{\boldsymbol{\phi}} \mathbf{S}_l, \Pi_G^\perp \mathbf{H}_l, i \Pi_G^\perp \mathbf{H}_l, \mathbf{G}, i \mathbf{G}],\end{aligned} \quad (\text{П5})$$

где  $\Pi_G^\perp = \mathbf{I}_N - \mathbf{G}(\mathbf{G}^+ \mathbf{G})^{-1} \mathbf{G}^+$ . Подставляя (П5) в (П4) и принимая во внимание, что  $\mathbf{G}^+ \Pi_G^\perp = 0$ , для  $\text{CRB}(\tilde{\boldsymbol{\alpha}})$  получим

$$\text{CRB}(\tilde{\boldsymbol{\alpha}}) = \frac{\sigma_n^2}{2L} \begin{pmatrix} \mathbf{J}_{\phi\phi} & \mathbf{J}_{\phi\eta} & \mathbf{0} \\ \mathbf{J}_{\eta\phi}^T & \mathbf{J}_{\eta\eta} & \mathbf{0} \\ \mathbf{0} & \mathbf{0} & \mathbf{J}_{ss} \end{pmatrix}^{-1}. \quad (\text{П6})$$

Здесь  $\mathbf{J}_{\phi\phi} = \text{Re}\{\mathbf{F}\}$ ,  $\mathbf{J}_{\phi\eta} = [\text{Re}\{\mathbf{K}\} - \text{Im}\{\mathbf{K}\}]$ ,  $\mathbf{J}_{\eta\eta} = \begin{pmatrix} \text{Re}\{\boldsymbol{\Sigma}\} - \text{Im}\{\boldsymbol{\Sigma}\} \\ \text{Im}\{\boldsymbol{\Sigma}\} \text{ Re}\{\boldsymbol{\Sigma}\} \end{pmatrix}$ , где

$$\mathbf{F} = L^{-1} \sum_{l=1}^L \mathbf{S}_l^+ \mathbf{D}_\phi^+ \Pi_G^\perp \mathbf{D}_\phi \mathbf{S}_l \in C^{J \times J},$$

$$\mathbf{K} = L^{-1} \sum_{l=1}^L \mathbf{S}_l^+ \mathbf{D}_\phi^+ \Pi_G^\perp \mathbf{H}_l \in C^{J \times MJ},$$

$$\boldsymbol{\Sigma} = L^{-1} \sum_{l=1}^L \mathbf{H}_l^+ \Pi_G^\perp \mathbf{H}_l \in C^{MJ \times MJ},$$

$$\mathbf{a} \mathbf{J}_{ss} = \begin{pmatrix} \operatorname{Re}\{\mathbf{G}^+ \mathbf{G}\} & -\operatorname{Im}\{\mathbf{G}^+ \mathbf{G}\} \\ \operatorname{Im}\{\mathbf{G}^+ \mathbf{G}\} & \operatorname{Re}\{\mathbf{G}^+ \mathbf{G}\} \end{pmatrix}.$$

Учитывая известное матричное соотношение  $\operatorname{diag}\{\mathbf{a}\} \mathbf{P} \operatorname{diag}\{\mathbf{b}\} = \mathbf{P} \circ (\mathbf{a} \mathbf{b}^T)$ , в котором символ  $\circ$  означает произведение Адамара (или поэлементное умножение матриц:  $[\mathbf{A} \circ \mathbf{B}]_{ij} = [\mathbf{A}]_{ij} [\mathbf{B}]_{ij}$ ), выражение для  $\mathbf{F}$  можно представить в эквивалентном виде

$$\begin{aligned} \mathbf{F} &= (1/L) \sum_{l=1}^L \mathbf{S}_l^+ \mathbf{D}_\phi^+ \Pi_G^\perp \mathbf{D}_\phi \mathbf{S}_l = \\ &= \mathbf{D}_\phi^+ \Pi_G^\perp \mathbf{D}_\phi \circ \sum_{l=1}^L \mathbf{s}_l^* \mathbf{s}_l^T / L \equiv \mathbf{D}_\phi^+ \Pi_G^\perp \mathbf{D}_\phi \circ \hat{\mathbf{R}}_s^T, \end{aligned} \quad (\text{П7})$$

где  $\hat{\mathbf{R}}_s = (1/L) \sum_{l=1}^L \mathbf{s}_l \mathbf{s}_l^+$  – выборочная сигнальная матрица. При написании (П7) учтено, что для диагональной матрицы  $\mathbf{S}_l$  справедливо равенство  $\mathbf{S}_l = \mathbf{S}_l^T$  и, следовательно,  $\mathbf{S}_l^+ = \mathbf{S}_l^*$ , где  $(\cdot)^*$  означает операцию комплексного сопряжения.

Аналогично, для матриц  $\mathbf{K}$  и  $\boldsymbol{\Sigma}$  имеем

$$\begin{aligned} \mathbf{K} &= [\mathbf{D}_\phi^+ \Pi_G^\perp \mathbf{D}_1 \circ \hat{\mathbf{R}}_s^T \cdots \mathbf{D}_\phi^+ \Pi_G^\perp \mathbf{D}_M \circ \hat{\mathbf{R}}_s^T] \equiv \\ &\equiv \mathbf{D}_\phi^+ \Pi_G^\perp \mathbf{D}_\eta \circ (\mathbf{1}_M^T \otimes \hat{\mathbf{R}}_s^T), \\ \boldsymbol{\Sigma} &= \begin{pmatrix} \mathbf{D}_1^+ \Pi_G^\perp \mathbf{D}_1 \circ \hat{\mathbf{R}}_s^T & \cdots & \mathbf{D}_1^+ \Pi_G^\perp \mathbf{D}_M \circ \hat{\mathbf{R}}_s^T \\ \vdots & \ddots & \vdots \\ \mathbf{D}_M^+ \Pi_G^\perp \mathbf{D}_1 \circ \hat{\mathbf{R}}_s^T & \cdots & \mathbf{D}_M^+ \Pi_G^\perp \mathbf{D}_M \circ \hat{\mathbf{R}}_s^T \end{pmatrix} \equiv \\ &\equiv \mathbf{D}_\eta^+ \Pi_G^\perp \mathbf{D}_\eta \circ (\mathbf{1}_M \mathbf{1}_M^T \otimes \hat{\mathbf{R}}_s^T), \end{aligned}$$

где  $\mathbf{1}_M$  – вектор размерности  $M \times 1$  с единичными компонентами,  $\mathbf{D}_\eta = [\mathbf{D}_1 \cdots \mathbf{D}_M]$ , а символ  $\otimes$  означает произведение Кронекера.

Интересующая нас ковариационная матрица дисперсий оценок угловых положений источников находится путем обращения левого верхнего блока в (П6) размерности  $J \times J$ :

$$\begin{aligned} \operatorname{CRB}(\boldsymbol{\varphi}) &= \frac{\sigma_n^2}{2L} (\mathbf{J}_{\varphi\varphi} - \mathbf{J}_{\varphi\eta} \mathbf{J}_{\eta\eta}^{-1} \mathbf{J}_{\eta\varphi}^T)^{-1} = \\ &= \frac{\sigma_n^2}{2L} \operatorname{Re}(\mathbf{F} - \mathbf{K} \boldsymbol{\Sigma}^{-1} \mathbf{K}^+)^{-1}. \end{aligned} \quad (\text{П8})$$

При получении (П8) использован результат работы [18], в соответствии с которым

$$\begin{aligned} [\operatorname{Re}\{\mathbf{K}\} - \operatorname{Im}\{\mathbf{K}\}] \begin{pmatrix} \operatorname{Re}\{\boldsymbol{\Sigma}\} & -\operatorname{Im}\{\boldsymbol{\Sigma}\} \\ \operatorname{Im}\{\boldsymbol{\Sigma}\} & \operatorname{Re}\{\boldsymbol{\Sigma}\} \end{pmatrix}^{-1} \times \\ \times \begin{bmatrix} \operatorname{Re}\{\mathbf{K}\}^T \\ \operatorname{Im}\{\mathbf{K}\}^T \end{bmatrix} = \operatorname{Re}(\mathbf{K} \boldsymbol{\Sigma}^{-1} \mathbf{K}^+). \end{aligned}$$

## СПИСОК ЛИТЕРАТУРЫ

- Елисеевнин В.Л. О работе горизонтальной линейной антенны в мелком море // Акуст. журн. 1983. Т. 29. № 1. С. 44–49.
- Buckingham M.J. On the response of a towed array to the acoustic field in shallow water // IEEE Proc. 1984. V. 131. Part F. № 3. P. 298–307.
- Елисеевнин В.Л. Определение направления на источник в волноводе с помощью горизонтальной линейной антенны // Акуст. журн. 1996. Т. 42. № 2. С. 208–211.
- Lakshminath S., Anand G.V. Subspace intersection method of high-resolution bearing estimation in shallow ocean // Signal Processing. 2004. V. 84. P. 1367–1384.
- Pang J., Lin J., Zhang A., Huang X. Subspace intersection method of bearing estimation based on least square approach in shallow ocean // In Proc. ICASSP, Las Vegas, NV, USA, 31 March–4 April, 2008. P. 2433–2436.
- Cox H. Resolving power and sensitivity to mismatch of optimum array processors // J. Acoust. Soc. Am. 1973. V. 54. № 3. P. 771–785.
- Liu Z., Nehorai A. Statistical angular resolution limit for point sources // IEEE Trans. Signal Processing. 2007. V. 55. № 11. P. 5521–5527.
- Amar A. and Weiss A.J. Fundamental limitations on the resolution of deterministic signals // IEEE Trans. Signal Processing. 2008. V. 56. №. P. 5309 –5318.
- El Korsos M.N., Boyer R., Renaux A., Marcos S. On the asymptotic resolvability of two point sources in known subspace interference using a GLRT-based framework // Signal Processing. 2012. V. 92. P. 2471–2483.
- Smith S.T. Statistical resolution limits and the complexified Cramer–Rao bound // IEEE Trans. Signal Processing. 2005. V. 53. № 5. P. 1597–1609.
- Robust Adaptive Beamforming / Eds. by Li J. and Stoica P. John Wiley & Sons, Inc., Hoboken, New Jersey. 2006. 422 p.
- Сазонтов А.Г., Малеханов А.И. Согласованная пространственная обработка сигналов в подводных звуковых каналах (Обзор) // Акуст. журн. 2015. Т. 61. № 2. С. 233–253.
- Schmidt R.O. Multiple emitter location and signal parameter estimation // IEEE Trans. Antennas and Propagation. 1986. V. 34. № 3. P. 276–280.
- Pesavento M., Gershman A.B., Wong K.M. Direction finding in partly calibrated sensor arrays composed of multiple subarrays // IEEE Trans. Signal Processing. 2002. V. 50. № 9. P. 2103–2115.
- See C.M.S., Gershman A.B. Direction-of-arrival estimation in partly calibrated subarray-based sensor arrays // IEEE Trans. on Signal Processing. 2004. V. 52. № 2. P. 329–338.

16. Сазонтов А.Г., Смирнов И.П., Чащин А.С. Локализация когерентного источника излучения в мелководном канале с использованием частично калиброванной адаптивной антенной решетки // Известия Вузов. Радиофизика. 2016. Т. 59. № 2. С. 99–107.
17. Сазонтов А.Г., Смирнов И.П. Локализация источника в акустическом волноводе с неточно известными параметрами с использованием согласованной обработки в модовом пространстве // Акуст. журн. 2019. Т. 65. Вып. 4. С. 540–550.
18. Stoica P. and Nehorai A. MUSIC, maximum likelihood, and Cramer-Rao bound // IEEE Trans. Acoust. Speech, Signal Processing. 1989. V. 37. № 5. P. 720–741.
19. El Korso M.N., Boyer R., Renaux A., Marcos S. Statistical resolution limit for multiple parameters of interest and for multiple signals // Proc. ICASSP, Dallas, TX, 2010. P. 3602–3605.
20. Kay S.M. Fundamentals of Statistical Signal Processing: Estimation Theory. Upper Saddle River, NJ: Prentice-Hall, 1993. 596 p.
21. Stoica P., Larsson E.G. Comments on “Linearization method for finding Cramér–Rao bounds in signal processing” // IEEE Trans. Signal Processing. 2001. V. 49. № 12. P. 3168–3169.